

“Stochastic Taylor Derivative Estimator: Efficient amortization for arbitrary differential operators”

Kensuke Wakasugi, Panasonic Holdings Corporation.

■タイトル：

Stochastic Taylor Derivative Estimator:
Efficient amortization for arbitrary differential operator

■著者：Shi, Z., Hu, Z., Lin, M., & Kawaguchi, K.

■所属：National University of Singapore、Sea AI Lab

■選書理由

- NeurIPS2024 Best Paper
- 自身の業務（マテリアルズ・インフォマティクス）において、物理法則を満たした予測が重要となるため

損失関数に微分演算子を含む最適化問題を考える

$$\arg \min_{\theta} f(\mathbf{x}, u_{\theta}(\mathbf{x}), D^{\alpha^{(1)}} u_{\theta}(\mathbf{x}), \dots, D^{\alpha^{(n)}} u_{\theta}(\mathbf{x})), \quad u_{\theta} : \mathbb{R}^d \rightarrow \mathbb{R}^{d'}.$$

入力 NNの出力 微分演算子 n階微分

※ただし、入力がd次元の場合、
どの次元で微分するかで場合の数が多数ある

$$D^{\alpha} = \frac{\partial^{|\alpha|}}{\partial x_1^{\alpha_1} \dots \partial x_d^{\alpha_d}}, \quad \alpha = (\alpha_1, \alpha_2, \dots, \alpha_d)$$

微分テンソルサイズ $O(d^k)$

■ 応用例 :

- 偏微分方程式の求解
- Physics-informed machine learning (PINN)
- 拡散モデルにおける入力変数の更新
- Adversarial Attack
- attentionの可視化

汎用的で効率的な高次元自動微分手法を提案

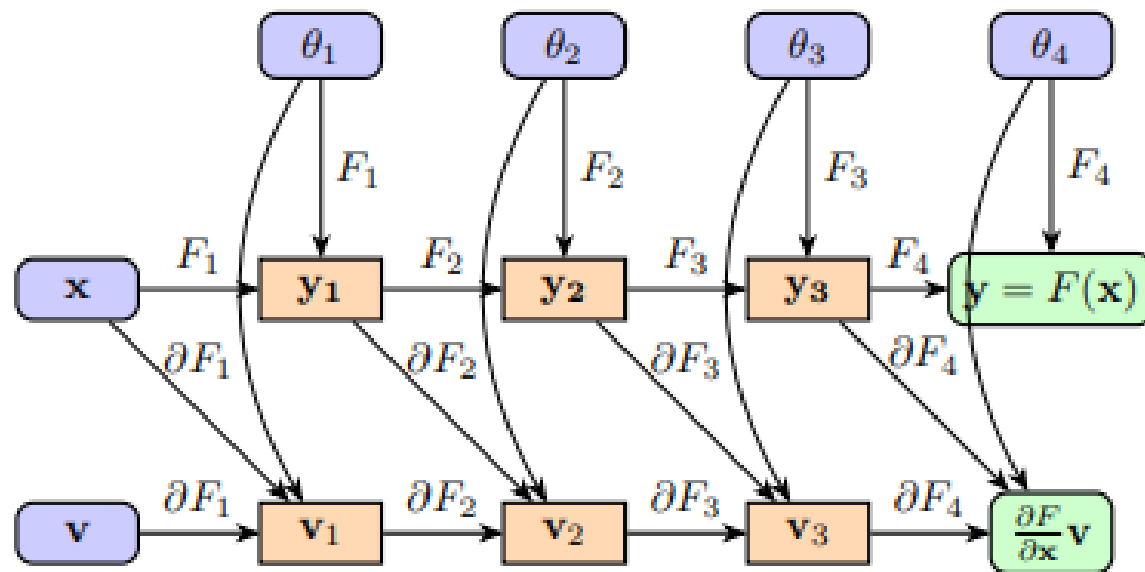
1. 効率的な高次元自動微分方法を提案
2. 既存手法では主にラプラス演算に焦点を当てていたが、本手法では一般の偏微分方程式に適用可能
3. 既存手法のSDGD(偏微分の確率的計算)やHTE (トレースの確率的計算) を一般化
4. 100万次元の偏微分方程式を8分で解けることを、実験的に示した
@NVIDIA A100 40GB GPU

事前知識：偏微分の計算方向

偏微分の計算方法として、前向き・後向きがある

Forward mode AD

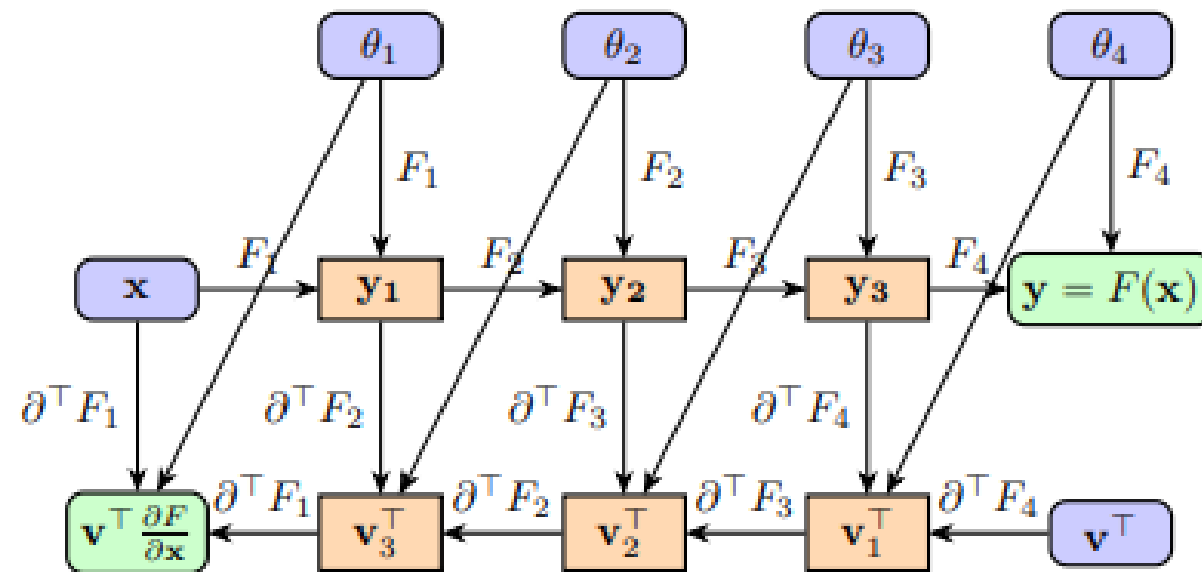
$$\frac{\partial F}{\partial \mathbf{x}} \mathbf{v} = \partial F(\mathbf{x})(\mathbf{v}) = [\partial F_L \circ \partial F_{L-1} \circ \cdots \circ \partial F_1](\mathbf{x})(\mathbf{v}).$$



- 提案手法はこちらに該当
- 計算グラフ長 $O(L)$ 、必要メモリ $O(\max(d, h))$

Backward mode AD

$$\mathbf{v}^\top \frac{\partial F}{\partial \mathbf{x}} = \partial^\top F(\mathbf{x})(\mathbf{v}^\top) = [\partial^\top F_1(\mathbf{x}) \circ \cdots \circ \partial^\top F_{L-1}(y_{L-2}) \circ \partial^\top F_L(y_{L-1})](\mathbf{v}^\top),$$

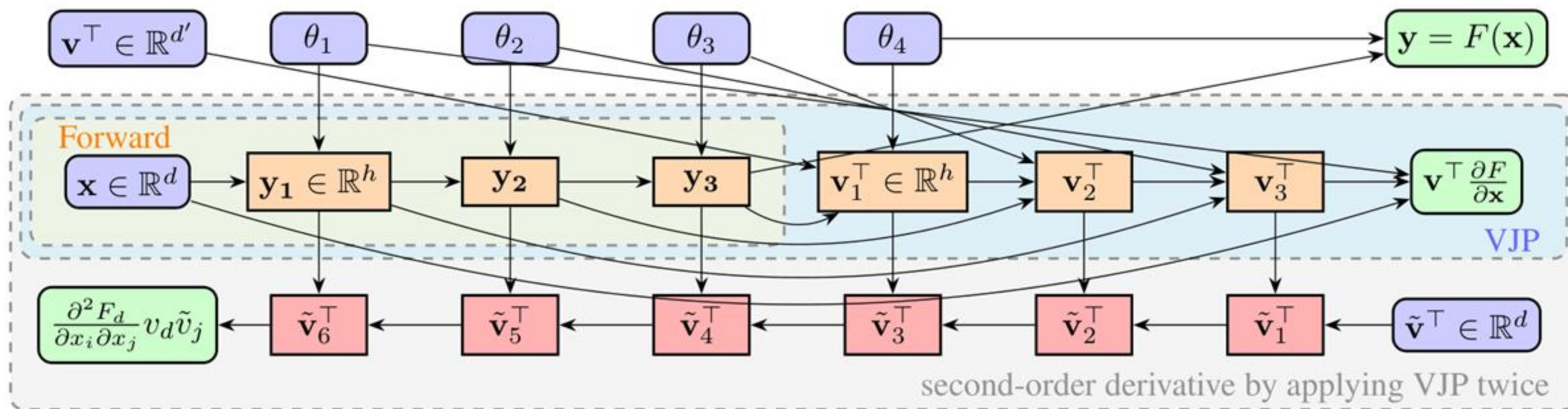


- Back Propagationはこちら
- 計算グラフ長 $O(2L)$ 、必要メモリ $O(2(d + (L-1)h))$

高階微分の非効率性

Backwardの場合、微分することに計算量が2倍に

3.2 Inefficiency of the first-order AD for high-order derivative on inputs



Forwardで高階微分を求めたい

高次微分をNNの層毎の演算で求める

$$\frac{\partial F}{\partial \mathbf{x}} \mathbf{v} = \partial F(\mathbf{x})(\mathbf{v}) = [\partial F_L \circ \partial F_{L-1} \circ \cdots \circ \partial F_1](\mathbf{x})(\mathbf{v}).$$

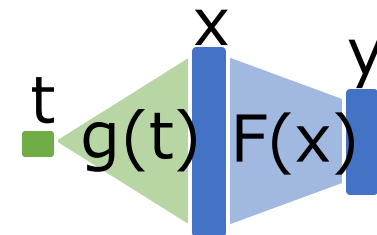
■ ポイント

- Fについて合成関数に拡張できる → 層毎の計算で全体微分を計算
- 右辺をNNで計算する → 左辺が求まる
- 上記を高次微分にも拡張したい

合成関数の偏微分とテイラー展開

適当な関数 $g(t)$ を置くと、一変数合成関数の微分をみなせる

$$\partial F(\mathbf{x})(\mathbf{v}) = \partial F(g(t))(g'(t)) = \left. \frac{\partial F}{\partial \mathbf{x}} \right|_{\mathbf{x}=g(t)} g'(t) = \frac{d}{dt} [F \circ g](t).$$



0階微分、1階微分に拡張

$$dF(J_g(t)) = J_{F \circ g}(t) = \left([F \circ g](t), \frac{d}{dt} [F \circ g](t) \right) = (F(\mathbf{a}), \partial F(\mathbf{a})(\mathbf{v})).$$

k階微分に拡張

$$\begin{aligned} d^k F(J_g^k(t)) &= J_{F \circ g}^k(t) = \left([F \circ g](t), \frac{\partial}{\partial t} [F \circ g](t), \frac{\partial^2}{\partial t^2} [F \circ g](t), \dots, \frac{\partial^k}{\partial t^k} [F \circ g](t) \right) \\ &= (F(\mathbf{a}), \partial F(\mathbf{a})(\mathbf{v}^{(1)}), \partial^2 F(\mathbf{a})(\mathbf{v}^{(1)}, \mathbf{v}^{(2)}), \dots, \partial^k F(\mathbf{a})(\mathbf{v}^{(1)}, \dots, \mathbf{v}^{(k)})), \end{aligned}$$

合成関数の偏微分とテイラー展開

合成関数の微分が、関数 $g(t)$ の t 微分と $F(x)$ の x 微分の積であらわされる

Faa di Bruno's formula : 一変数合成関数の高次微分の公式

$$\partial^2 F(\mathbf{a})(\mathbf{v}^{(1)}, \mathbf{v}^{(2)}) = \frac{\partial^2}{\partial t^2} [F \circ g](t) = D_F(\mathbf{a})\mathbf{v}^{(2)} + D_F^2(\mathbf{a})_{d', d_1, d_2} v_{d_1}^{(1)} v_{d_2}^{(1)}.$$

合成関数 $F \circ g$ の k 階 t 微分が F, g それぞれの微分で表現される。



$$J_g = \{g(t), g'(t)\}$$

$$J_{F \circ g} = \{[F \circ g](t), \frac{\partial}{\partial t} [F \circ g](t)\}$$

補足：合成関数の微分の一般項

一変数合成関数の微分に関する公式

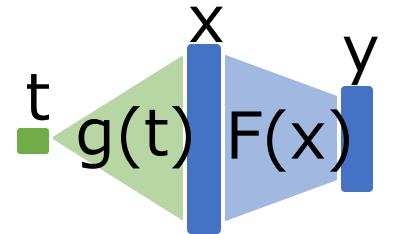
$$\begin{aligned}
 \frac{\partial}{\partial x} f(g(x)) &= f^{(1)}(g(x)) \cdot g^{(1)}(x) \\
 \frac{\partial^2}{\partial x^2} f(g(x)) &= f^{(1)}(g(x)) \cdot g^{(2)}(x) + f^{(2)}(g(x)) \cdot [g^{(1)}(x)]^2 \\
 \frac{\partial^3}{\partial x^3} f(g(x)) &= f^{(1)}(g(x)) \cdot g^{(3)}(x) + 3f^{(2)}(g(x)) \cdot g^{(1)}(x) \cdot g^{(2)}(x) + f^{(3)}(g(x)) \cdot [g^{(1)}(x)]^3
 \end{aligned} \tag{37}$$

$$\frac{\partial^k}{\partial x^k} f(g(x)) = \sum_{\substack{(p_1, \dots, p_k) \in \mathbb{N}^k, \\ \sum_{i=1}^k i \cdot p_i = k}} \frac{k!}{\prod_i p_i! (i!)^{p_i}} \cdot (f^{(\sum_{i=1}^k p_i)} \circ g)(x) \cdot \prod_{j=1}^k \left(\frac{1}{j!} g^{(j)}(x) \right)^{p_j}. \tag{38}$$

合成関数の偏微分とテイラー展開 再掲

適当な関数 $g(t)$ を置くと、一変数合成関数の微分をみなせる

$$\partial F(\mathbf{x})(\mathbf{v}) = \partial F(g(t))(g'(t)) = \left. \frac{\partial F}{\partial \mathbf{x}} \right|_{\mathbf{x}=g(t)} g'(t) = \frac{d}{dt} [F \circ g](t).$$



↓ 0階微分、1階微分に拡張

$$dF(J_g(t)) = J_{F \circ g}(t) = \left([F \circ g](t), \frac{d}{dt} [F \circ g](t) \right) = (F(\mathbf{a}), \partial F(\mathbf{a})(\mathbf{v})).$$

↓ k階微分に拡張

$$\begin{aligned} d^k F(J_g^k(t)) &= J_{F \circ g}^k(t) = \left([F \circ g](t), \frac{\partial}{\partial t} [F \circ g](t), \frac{\partial^2}{\partial t^2} [F \circ g](t), \dots, \frac{\partial^k}{\partial t^k} [F \circ g](t) \right) \\ &= (F(\mathbf{a}), \partial F(\mathbf{a})(\mathbf{v}^{(1)}), \partial^2 F(\mathbf{a})(\mathbf{v}^{(1)}, \mathbf{v}^{(2)}), \dots, \partial^k F(\mathbf{a})(\mathbf{v}^{(1)}, \dots, \mathbf{v}^{(k)})), \end{aligned}$$

Forward計算で高次微分を伝搬

$$\partial^2 F(\mathbf{a})(\mathbf{v}^{(1)}, \mathbf{v}^{(2)}) = \frac{\partial^2}{\partial t^2} [F \circ g](t) = D_F(\mathbf{a})\mathbf{v}^{(2)} + D_F^2(\mathbf{a})_{d', d_1, d_2} v_{d_1}^{(1)} v_{d_2}^{(1)}.$$

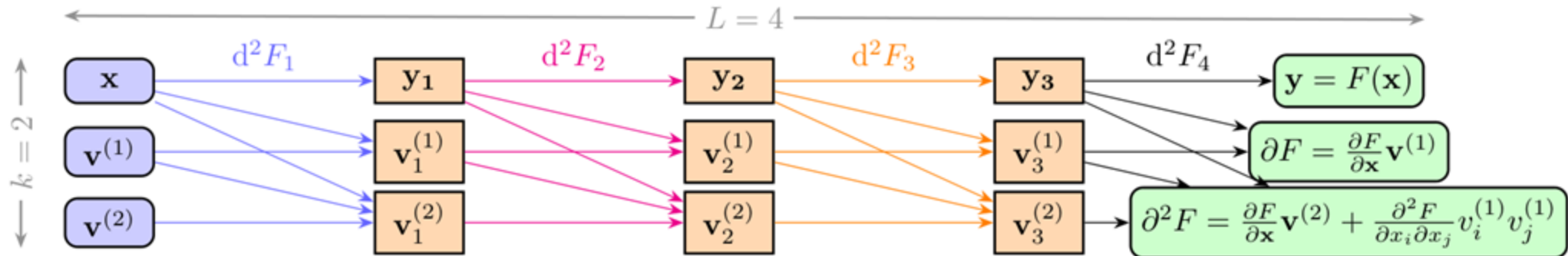


Figure 2: The computation graph of $d^2 F$ for F with 4 primitives. Parameters θ_i are omitted. The first column from the left represents the input 2-jet $J_g^2(t) = (\mathbf{x}, \mathbf{v}^{(1)}, \mathbf{v}^{(2)})$, and $d^2 F_1$ pushes it forward to the 2-jet $J_{F_1 \circ g}^2(t) = (\mathbf{y}_1, \mathbf{v}_1^{(1)}, \mathbf{v}_1^{(2)})$ which is the subsequent column. Each row can be computed in parallel, and no evaluate trace needs to be cached.

求めたい微分項に応じて、 $g(\mathbf{t})$ を設計

Laplacian From Eq. 9 we know that the quadratic form of Hessian can be computed through ∂^2 by setting $\mathbf{v}^{(2)} = \mathbf{0}$ and $\mathbf{v}^{(1)} = \mathbf{e}_j$. Therefore, the STDE of the Laplacian operator is given by

$$\tilde{\nabla}^2_J u_\theta(\mathbf{a}) = \frac{d}{|J|} \sum_{j \in J} \frac{\partial^2}{\partial x_j^2} u_\theta(\mathbf{a}) = \frac{d}{|J|} \sum_{j \in J} \partial^2 u_\theta(\mathbf{a})(\mathbf{e}_j, \mathbf{0}) = \frac{d}{|J|} \sum_{j \in J} \mathrm{d}^2 u_\theta(\mathbf{a}, \mathbf{e}_j, \mathbf{0})_{[2]} \quad (16)$$

where J is the sampled index set, and the subscript $[2]$ means taking the second-order tangent from the output jet. See example implementation in JAX in Appendix A.4.

High-order *diagonal* differential operators We call a differential operator *diagonal* if it is a linear combination of diagonal elements from the derivative tensor: $\mathcal{L} = \sum_{j=1}^d \frac{\partial^k}{\partial x_j^k}$. From Eq. 43 we see that setting the first-order tangent $\mathbf{v}^{(1)}$ to \mathbf{e}_j and all other tangents $\mathbf{v}^{(i)}$ to the zero vector gives the desired high-order diagonal element:

$$\tilde{\mathcal{L}}_J u_\theta(\mathbf{a}) = \frac{d}{|J|} \sum_{j \in J} \frac{\partial^k}{\partial \mathbf{x}_j^k} u_\theta(\mathbf{a}) = \frac{d}{|J|} \sum_{j \in J} \partial^k u_\theta(\mathbf{a})(\mathbf{e}_j, \mathbf{0}, \dots). \quad (17)$$

二次の偏微分方程式

Second-order parabolic PDEs Second-order parabolic PDEs are a large class of PDEs. It includes the Fokker-Planck equation in statistical mechanics to describe the evolution of the state variables in stochastic differential equations (SDEs), which can be used for generative modeling [38]. It also includes the Black-Scholes equation in mathematical finance for option pricing, the Hamilton-Jacobi-Bellman equation in optimal control, and the Schrödinger equation in quantum physics and chemistry. Its form is given by

$$\frac{\partial}{\partial t} u(\mathbf{x}, t) + \frac{1}{2} \text{tr} \left(\sigma \sigma^\top(\mathbf{x}, t) \frac{\partial^2}{\partial \mathbf{x}^2} u(\mathbf{x}, t) \right) + \nabla u(\mathbf{x}, t) \cdot \mu(\mathbf{x}, t) + f(t, \mathbf{x}, u(\mathbf{x}, t), \sigma^\top(\mathbf{x}, t) \nabla u(\mathbf{x}, t)) = 0. \quad (18)$$

We have a second order derivative term $\frac{1}{2} \text{tr} \left(\sigma(\mathbf{x}, t) \sigma(\mathbf{x}, t)^\top \frac{\partial^2}{\partial \mathbf{x}^2} u(\mathbf{x}, t) \right)$ with *off-diagonal* term. The off-diagonals can be easily removed via a change of variable:

$$\frac{1}{2} \text{tr} \left(\sigma(\mathbf{x}, t) \sigma(\mathbf{x}, t)^\top \frac{\partial^2}{\partial \mathbf{x}^2} u(\mathbf{x}, t) \right) = \frac{1}{2} \sum_{i=1}^d \partial^2 u(\mathbf{x}, t) (\sigma(\mathbf{x}, t) \mathbf{e}_i, \mathbf{0}). \quad (19)$$

See derivation in Appendix E. Its STDE samples over the d terms in the expression above.

浅水波の方程式

2D Korteweg-de Vries (KdV) equation Consider the following 2D KdV equation

$$u_{ty} + u_{xxxxy} + 3(u_y u_x)_x - u_{xx} + 2u_{yy} = 0. \quad (20)$$

All the derivative terms can be found in the pushforward of the following jet:

$$\begin{aligned} \tilde{\mathcal{J}} = d^{13}u(\mathbf{x}, \mathbf{v}^{(1)}, \dots, \mathbf{v}^{(13)}), \quad \mathbf{v}^{(3)} = \mathbf{e}_x, \mathbf{v}^{(4)} = \mathbf{e}_y, \mathbf{v}^{(7)} = \mathbf{e}_t, \mathbf{v}^{(i)} = \mathbf{0}, \forall i \notin \{3, 4, 7\}, \\ u_x = \tilde{\mathcal{J}}_{[1]}, \quad u_y = \tilde{\mathcal{J}}_{[2]}, \quad u_{xx} = \tilde{\mathcal{J}}_{[4]}, \quad u_{xy} = \tilde{\mathcal{J}}_{[5]}/35, \\ u_{yy} = \tilde{\mathcal{J}}_{[6]}/35, \quad u_{ty} = \tilde{\mathcal{J}}_{[9]}/330, \quad u_{xxxxy} = \tilde{\mathcal{J}}_{[11]}/200200. \end{aligned} \quad (21)$$

複数回の演算を組み合わせて算出する場合も

$$\frac{\partial}{\partial x_i^2 \partial x_j} u_\theta(\mathbf{x}) = [\partial^4 u_\theta(\mathbf{x})(\mathbf{e}_i, \mathbf{e}_j, \mathbf{0}, \mathbf{0}) - \partial^4 u_\theta(\mathbf{x})(\mathbf{e}_i, \mathbf{0}, \mathbf{0}, \mathbf{0}) - 3\partial^2 u_\theta(\mathbf{x})(\mathbf{e}_j, \mathbf{0})]/6. \quad (48)$$

- 三階微分の要素の一つを計算する例
- 任意の微分項に対する、jetの設計は自明ではないが、求めることはできる？

Forward計算で高次微分を伝搬

$$\partial^2 F(\mathbf{a})(\mathbf{v}^{(1)}, \mathbf{v}^{(2)}) = \frac{\partial^2}{\partial t^2} [F \circ g](t) = D_F(\mathbf{a})\mathbf{v}^{(2)} + D_F^2(\mathbf{a})_{d', d_1, d_2} v_{d_1}^{(1)} v_{d_2}^{(1)}.$$

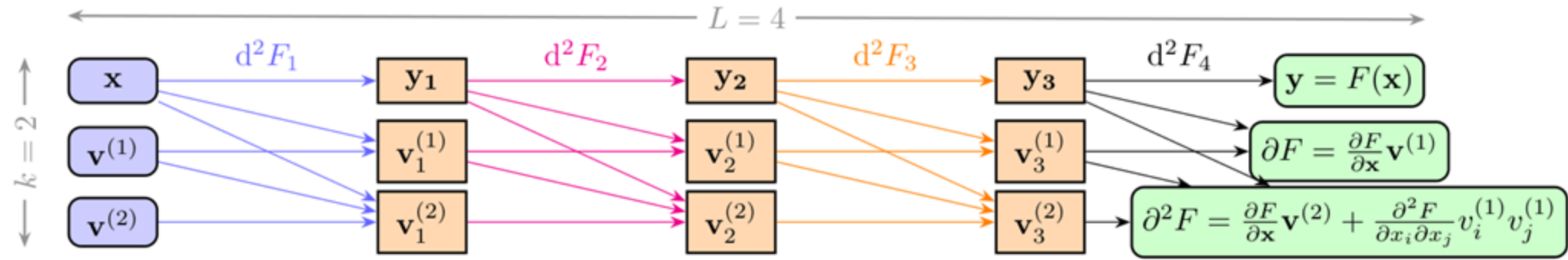


Figure 2: The computation graph of $d^2 F$ for F with 4 primitives. Parameters θ_i are omitted. The first column from the left represents the input 2-jet $J_g^2(t) = (\mathbf{x}, \mathbf{v}^{(1)}, \mathbf{v}^{(2)})$, and $d^2 F_1$ pushes it forward to the 2-jet $J_{F_1 \circ g}^2(t) = (\mathbf{y}_1, \mathbf{v}_1^{(1)}, \mathbf{v}_1^{(2)})$ which is the subsequent column. Each row can be computed in parallel, and no evaluate trace needs to be cached.

入力次元をミニバッチ化し、計算効率を改善

$$\mathcal{D} := \sum_{j=1}^{N_{\mathcal{D}}} \mathcal{D}_j \approx \frac{N_{\mathcal{D}}}{|J|} \sum_{j \in J} \mathcal{D}_j := \tilde{\mathcal{D}}_J,$$

ミニバッチ学習と類似した考え方

入力次元 $d \rightarrow J$ と置き換わりは計算量など軽減できるが、
微分次数 k への依存性は減らない。高階微分における計算量軽減が望まれる

ランダム次元削減との併用

計算対象の次元を限定することで、計算量を削減

先行手法（再掲） $\mathcal{D} := \sum_{j=1}^{N_{\mathcal{D}}} \mathcal{D}_j \approx \frac{N_{\mathcal{D}}}{|J|} \sum_{j \in J} \mathcal{D}_j := \tilde{\mathcal{D}}_J,$

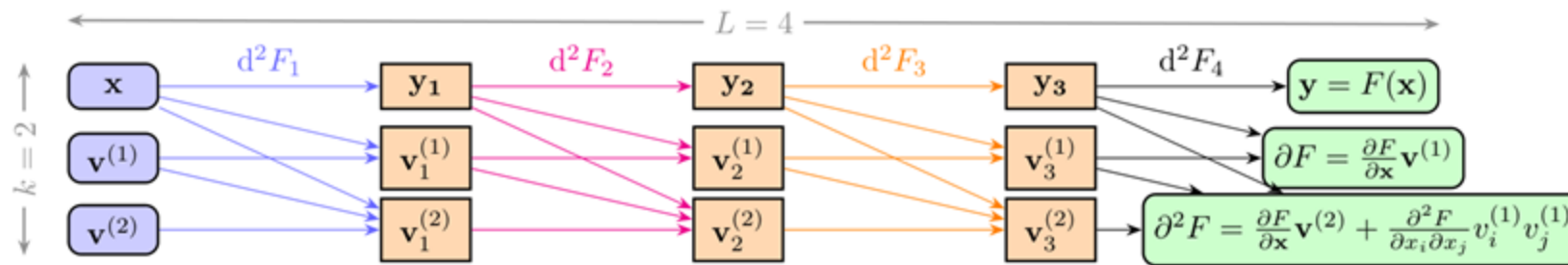
提案手法 $\mathbb{E}_{J_g^l \sim p} [\partial^l u(J_g^l)] = \mathbb{E}[v_{d_1}^{(v_1)} \cdots v_{d_k}^{(v_k)}] = D_u^k(\mathbf{a}) \cdot \mathbf{C}(\mathcal{L}) = \mathcal{L}u(\mathbf{a}),$

サンプリングした次元に関する期待値が
全体で求めたい微分の値に一致（不偏推定）

Stochastic Taylor Derivative Estimator (STDE)のメリット

Forward計算で微分計算実現し、計算量の発散を抑制

1. 任意の次元、次数の微分演算子に適用可能
2. データ次元dと微分次数kのスケール問題を同時に解決
3. サンプルNに関して、並列計算が可能



■ Backwardと比較

メモリ : $O(2^{k-1}(d + (L-1)h)) \rightarrow O(kd)$

計算量 : $O(2^k(dh + (L-1)h^2)) \rightarrow O(k^2dL)$

補足：jet形式のsparseとdense

sparseなjetと、denseなjetを設計可能（場合による）

- 基本はスパースな（標準ベクトルと0で構成）jet
- 場合によりdenseなjetを作れる。
下記例では、ガウス分布からサンプリングした \mathbf{v} を利用

We generalize the dense construction to **arbitrary second-order differential operators** using a multivariate Gaussian distribution with the eigenvalues of the corresponding coefficient tensor as its covariance. Suppose \mathcal{D} is a second-order differential operator with coefficient tensor \mathbf{C} . With the eigendecomposition $\mathbf{C}'' = \frac{1}{2}(\mathbf{C} + \mathbf{C}^\top) + \lambda\mathbf{I} = \mathbf{U}\Sigma\mathbf{U}^\top$ where $-\lambda$ is smaller than the smallest eigenvalue of \mathbf{C} , we can construct a STDE for \mathcal{D} :

$$\mathbb{E}_{\mathbf{v} \sim \mathcal{N}(\mathbf{0}, \Sigma)}[\partial^2 u(\mathbf{a})(\mathbf{U}\mathbf{v}, \mathbf{0})] - \lambda \mathbb{E}_{\mathbf{v} \sim \mathcal{N}(\mathbf{0}, \mathbf{I})}[\partial^2 u(\mathbf{a})(\mathbf{v}, \mathbf{0})] = D_u^2(\mathbf{a}) \cdot [\mathbf{C}'' - \lambda\mathbf{I}] = D_u^2(\mathbf{a}) \cdot \mathbf{C}. \quad (22)$$

Hutchinson Trace Estimation

This example illustrates the estimation the Hessian trace of a neural network using Hutchinson's method [Hutchinson, 1990], which is an algorithm to obtain such an estimate from matrix-vector products:

Let $A \in \mathbb{R}^{D \times D}$ and $v \in \mathbb{R}^D$ be a random vector such that $\mathbb{E}[vv^T] = I$. Then,

$$\text{Tr}(A) = \mathbb{E}[v^T A v] = \frac{1}{V} \sum_{i=1}^V v_i^T A v_i.$$

[引用：Hutchinson Trace Estimation — BackPACK 1.2.0 documentation](#)

Physics-informed neural networksで実験

- PDEs (ただし、境界条件は先行文献利用し、自動的に満たすように設計)

$$\mathcal{L}u(\mathbf{x}) = f(\mathbf{x}), \quad \mathbf{x} \in \Omega, \quad \mathcal{B}u(\mathbf{x}) = g(\mathbf{x}), \quad \mathbf{x} \in \partial\Omega,$$

$$\ell_{\text{residual}}(\theta; \{\mathbf{x}^{(i)}\}_{i=1}^{N_r}) = \frac{1}{N_r} \sum_{i=1}^{N_r} \left| \mathcal{L}u_{\theta}(\mathbf{x}^{(i)}) - f(\mathbf{x}^{(i)}) \right|^2$$

- Amortized PINNs

$$\tilde{\ell}_{\text{residual}}(\theta; \{\mathbf{x}^{(i)}\}_{i=1}^{N_r}, J, K) = \frac{1}{N_r} \sum_{i=1}^{N_r} \left[\tilde{\mathcal{L}}_J u_{\theta}(\mathbf{x}^{(i)}) - f(\mathbf{x}^{(i)}) \right] \cdot \left[\tilde{\mathcal{L}}_K u_{\theta}(\mathbf{x}^{(i)}) - f(\mathbf{x}^{(i)}) \right],$$

- 方程式の例

- Allen-Cahn equation: $\mathcal{L}u(\mathbf{x}) = \nabla^2 u(\mathbf{x}) + u(\mathbf{x}) - u(\mathbf{x})^3.$

Ablation study on the performance gain

一定の誤差範囲の下での計算時間を比較

Table 1: Speed ablation for the two-body Allen-Cahn equation.

Speed (it/s) \uparrow	100 D	1K D	10K D	100K D	1M D
Backward mode SDGD (PyTorch) [13]	55.56	3.70	1.85	0.23	OOM
Backward mode SDGD	40.63	37.04	29.85	OOM	OOM
Parallelized backward mode SDGD	1376.84	845.21	216.83	29.24	OOM
Forward-over-Backward SDGD	778.18	560.91	193.91	27.18	OOM
Forward Laplacian [24]	1974.50	373.73	32.15	OOM	OOM
STDE	1035.09	1054.39	454.16	156.90	13.61

Ablation study on the performance gain

メモリ量の比較

Table 2: Memory ablation for the two-body Allen-Cahn equation.

Memory (MB) ↓	100 D	1K D	10K D	100K D	1M D
Backward mode SDGD (PyTorch) [13]	1328	1788	4527	32777	OOM
Backward mode SDGD	553	565	1217	OOM	OOM
Parallelized backward mode SDGD	539	579	1177	4931	OOM
Forward-over-Backward SDGD	537	579	1519	4929	OOM
Forward Laplacian [24]	507	913	5505	OOM	OOM
STDE	543	537	795	1073	6235

ベースラインとなるSDGDを最適化知したうえでも、STDEが大幅に優位

■ JAX vs PyTorch

- SDGDはPythorchのため、JAXも実装。JAXだと~15倍速、~4倍メモリ効率

■ Parallelization

- 元のSDGDは非並列のため、並列化も検証
- ~15倍速、ピークメモリの低減

■ Forward Laplacian

- 入力次元が100までは最良だが、ランダムイズがないのでスケールしない
- 1000次元を超えるとSDGDが有利

■ STDE(提案手法)

- 最良のSDGDと比較して、10倍速、4倍メモリ効率

偏微分方程式を含む問題における、汎用性の高い手法を提案

■ Applicability

- 偏微分方程式に汎用的に適用できる
- 敵対的攻撃、特徴貢献度解析、メタ学習

■ Limitations

- 分散提言は考慮できておらず、future works
- ランダムバッチサイズを小さくすると、速度・メモリが改善するが、分散との兼ね合いは不明
- ネットワークパラメータの学習には適していない

■ Future works

- AD とランダム化数値線形代数のつながりを示唆
- 高次元ラプラシアンを計算する必要がある多体シュレーディンガー方程式や数理金融で多数の用途がある高次元ブラック ショールズ方程式への応用を期待

- 現実的に大きな k 階微分を使うことは少なそうではあるが、汎用性の高さが際立つ
- 実用面では、 $g(t)$ の設計に苦労しそうではあるが、よく使われる方程式であれば、ハードルは低そう。使い勝手に期待。